

پتروژن و ترکیب دولومیت کرتاسه شهمیرزاد، البرز مرکزی

کمال الدین بازرگانی گیلانی^{*}، مریم فرامرزی

دانشکده زمین‌شناسی، پردیس علوم، دانشگاه تهران، تهران، ایران

^{*} مسئول مکاتبات-آدرس الکترونیکی: kbazargu@khayam.ut.ac.ir

(دریافت: ۸۵/۲/۲۵؛ پذیرش: ۸۵/۶/۲۷)

چکیده

انواع سنگ‌های کربناته دولومیت دار کرتاسه بالایی که در ناحیه شمال شرق شهمیرزاد، البرز مرکزی رخنمون دارد، میزبان کانسارها و آثار متعدد سرب و روی در شمال سمنان میباشد. در این مطالعه پنج برش از سنگ‌های کربناته معادن متروکه سرب و روی رضا آباد، حیدر آباد و رضابرک انتخاب شده است. با استفاده از مقاطع میکروسکوپی نازک استاندارد و رنگ آمیزی شده، نمودارهای XRD، تجزیه شیمیایی مرتبط و XRF؛ پتروژن و ترکیب دولومیت‌ها با معادله $b = md + N CaCO_3$ بررسی گردید. دولومیت‌های منطقه با توجه به معادله فوق از نظر میزان کربنات کلسیم به ۳ دسته تقسیم شده اند، که عبارتند از: $51/5 - 51/5\%$ و $53/5 - 55/5\%$ و $49/5 - 51/5\%$. برطبق این مطالعات ۶ نوع بافت تشخیص داده شد که با توجه به توالی رشد بلورهای دولومیت در طول زمان (از آغاز) شامل گزنتوتوبیک A یا دولومیکرایت، ایدیوتوبیک E، P، S، ایدیوتوبیک C و زین اسپی ایست. کاهش میزان سدیم و استرانسیم که طی دیاژن و با افزایش اندازه بلور بوجود می‌آید، بدلیل تأثیر سیالات هیدرترمالی در توالی کرتاسه این منطقه دیده نمی‌شود. مقادیر Mn و Fe در دولواسپارایت‌ها بالاتر از دولومیکراسپارایت‌ها است. با توجه به تغییر مقادیر Sr^{2+} , Mn^{2+} , Fe^{2+} در ترکیب دولومیت در طول پروفیل‌ها احتمالاً یک جریان سیال از شمال به جنوب نسبت به گسل ازتاب در منطقه وجود داشته است. با توجه به یافته‌ها، دولومیتی شدن چند مرحله‌ای این منطقه را باید در ارتباط با دیاژن اولیه و تأخیری در نتیجه تأثیر آب‌های دریایی و متواریک، شورابه‌های حوضه‌ای و همچنین فعالیت‌های هیدرولرمال دوره سنوزوئیک (احتمالاً نشأت گرفته از ولکانیک ائوسن) بر توالی کرتاسه بالایی دانست.

واژه‌های کلیدی: دولومیت، سرب و روی، کرتاسه بالایی، شهمیرزاد، البرز مرکزی، رضا آباد، رضا برک، حیدر آباد.

نمودارهای XRD و فرمول $N CaCO_3 = md + b$ (Lumsden 1979) و

داده‌های (Jones *et al.* 2001) بررسی شد. داده‌های مطالعه دولومیتی شدن چند مرحله‌ای را در توالی پلتفرم کرتاسه بالایی شمال شرقی شهمیرزاد روشن و همچنین تأثیر فعالیت‌های هیدرترمالی سنوزوئیک بر این توالی را بازگو می‌کند. هدف از جمع‌بندی داده‌ها تعیین پتروژن و ترکیب دولومیت‌ها در بردارنده سرب و روی این منطقه براساس مطالعات (Sibley & Gregg 1987, Mazzullo 1992, Friedman 1965, Braithwaite & Rizzi 1997) در مورد دولومیت‌ها می‌باشد.

مقدمه

دولومیتی شدن در توالی مزو佐ئیک البرز مرکزی در سازندهای الیکا (علی قلی نتاج ۱۳۸۰، فیاضی ۱۳۸۴)، لار و کرتاسه بالایی قابل مشاهده است. بازرگانی گیلانی و فرامرزی (۱۳۸۴) ژئومتری، پتروگرافی و ترکیب دولومیت‌های کرتاسه بالایی البرز مرکزی (شمال شرق شهمیرزاد) را مطالعه کرده‌اند. همچنین میکرواستراتیگرافی بخش‌هایی از کرتاسه بالایی شمال سمنان توسط زحمتکش (۱۳۷۵) مطالعه شده است. معادله‌های چینه‌شناسی این واحدهای سنگی میزبان مهمی برای کانسارهای سرب و روی در شمال سمنان می‌باشند. بنابراین شناخت منشاء این دولومیت‌ها می‌تواند اطلاعات مهمی در مورد نحوه گسترش سیالات حوضه‌ای، واکنش سیال-سنگ در طول دیاژن و فرایندهای کانی‌سازی فراهم کند (Chen *et al.* 2004)، که این در حقیقت می‌تواند برنامه معدنکاری و اکتشاف را بهبود بخشد. بدین منظور پنج رخنمون از کرتاسه بالایی انتخاب گردید و با تکیه بر مطالعات صحرایی، پتروگرافی و ژئوشیمیایی، دولومیت‌های این توالی مورد بحث قرار گرفته است. از طرفی ترکیب آنها با استفاده از

موقعیت زمین‌شناسی

منطقه مورد مطالعه در واحد زمین ساختی-رسوبی البرز مرکزی قرار گرفته است که بخشی از نوار کوه‌زایی آلب-هیمالیا می‌باشد. در منطقه شهمیرزاد توالی تقریباً کاملی از سنگ‌های پرکامبرین تا عهد حاضر وجود دارد، که توالی مزو佐ئیک آن عمدهاً شامل دولومیت و سنگ آهک سازند الیکا؛ ماسه سنگ، شیل با آثاری از ذغال سازند شمشک، سنگ آهک دلیچایی، دولومیت و سنگ آهک سازند لار و

N ۷۰° E ۴۵° N تا N ۷۰° E ۸۰-۹۰° درجه، در مواردی برگشته بیرون زدگی دارد. گسل‌های عمده منطقه مانند ازاب و بشم دارای امتداد شمال شرقی-جنوب غربی می‌باشند. در شرق رضا آباد گسل‌هایی با امتداد تقریبی W N ۵۰° و W N ۴۰° و با شیب نزدیک به قائم، در حیدرآباد و دریند به ترتیب با امتداد W N ۸۰° و W N ۴۰° شیب نزدیک به قائم و در رضابک با امتداد E N ۶۰° و شیب NW N ۷۷° شیب نزدیک به قائم و در رضابک با امتداد E N ۶۰° و شیب NW N ۷۷° تا قائم توالی کرتاسه را قطع می‌کند. این گسل‌ها جوان تر از گسل ازاب می‌باشند و آن را قطع می‌کنند (شکل ۲). بعلاوه دربرخی از این برش‌ها حفرات کارستیک نیز در توالی کرتاسه قابل مشاهده است.

تاریخچه تکوین حوضه

با نزدیکی به پایان کرتاسه و شروع حرکات آلپ میانی در نتیجه تصادم ایران و عربستان (Berberian & King 1981)، نوار کوهزایی البرز فعالیت مجدد خود را در نتیجه اعمال تنش های فشارش از زون تصادم آغاز کرد. در این مرحله، بخشی از رسوباتی که در مراحل قبل در حوضه فورلند ته نشین شده‌اند، به فرم ورقه‌های رورانده به مجموعه کوهزایی ملحق شده و مجموعه کوهزایی با الحق ورقه های جدید به سمت حوضه فورلند حرکت کرده است. این تغییرات ساختاری با بالا آمدگی نوار چین خورده-گسلیده البرز، پسروی دریا به سمت جنوب در حوضه فورلند، تجدید حیات فرایندهای فرسایشی در آن و هجوم مواد

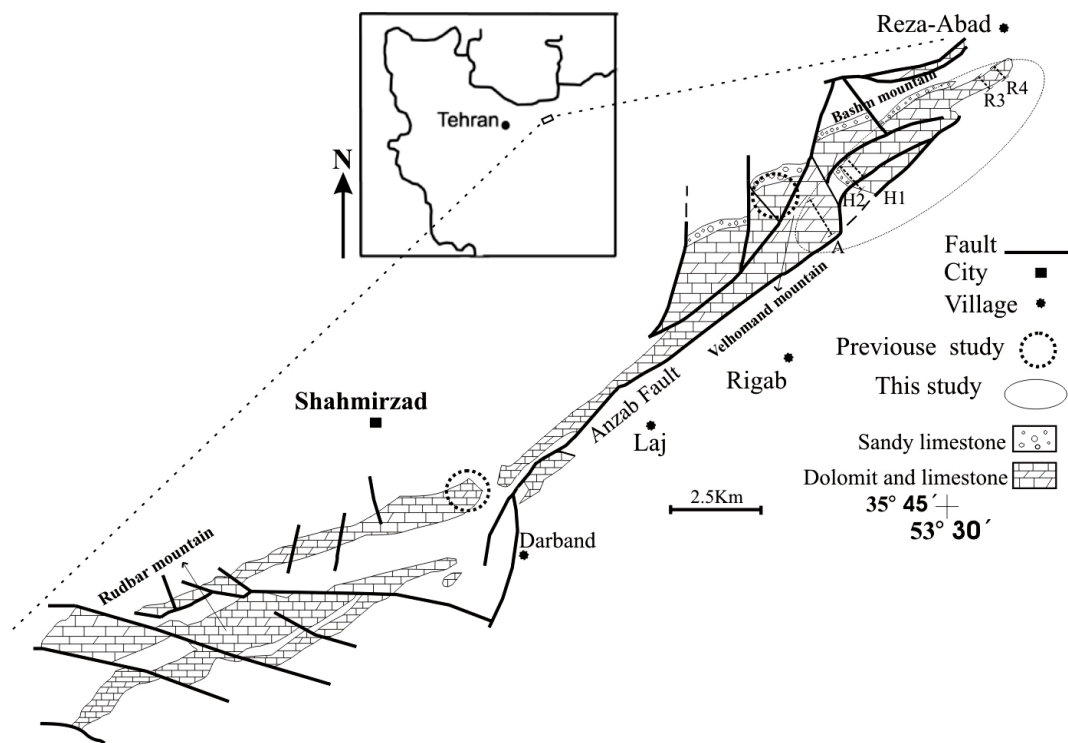
توالی کرتاسه بالایی می‌باشد. سنوزوئیک در منطقه مورد مطالعه شامل کنگلومرا فجن (پالتوسن، ضخامت ۱۰۰۰-۲۰۰۰ متر)، توف و شیل سازند کرج (ائوسن، با ضخامت حدود ۲۷۰۰-۱۰۰۰ متر) و بیش از ۱۰۰۰ متر رسوبات روی سازند کرج است که با توجه به رسوبات منطقه شمال سمنان می‌توان توالی سنوزوئیک روی کرتاسه را دنبال کرد (نبوی ۱۳۶۶) (شکل ۱).

علوی (Alavi 1991) توالی ژوراسیک میانی-کرتاسه البرز را فلات قاره‌ای می‌داند. توالی رسوبات ژوراسیک میانی تا کرتاسه پسین البرز در حوضه فورلند راسب شده‌اند. این حوضه فورلند با عدم تقارن در عمق وارد دوره کرتاسه شده است (رحیمی ۱۳۸۱). مرز کرتاسه پایین-کرتاسه بالایی همانند دیگر نقاط ایران (به جز زاگرس) با فاز کوهزایی اتریشین و ناپیوستگی رسوبی و گاه تکاپوهای آتشفشاری مشخص است. سن توالی کرتاسه بالایی شمال شرق شهرمیرزاد سномانین- سنونین می‌باشد. در دامنه‌های جنوبی البرز مرکزی رسوبات ماستریشتن چندان گزارش نشده و دریای ماستریشتن تحت تأثیر حرکت‌های زودرس فاز کوهزایی لارامید قرار داشته است. سرانجام در اواخر ماستریشتن، این مناطق تحت تأثیر فاز کوهزایی لارامید قرار گرفته و به خشکی تبدیل شده است.

از نظر موقعیت چینه‌شناسی، این توالی با ناپیوستگی هم شیب (Disconformity) بر روی سازند لار قرار گرفته است. که مرز بالای آن توسط گسل ازاب کنار آبرفت‌های کواترنری یا سازندهای شمشک و الیکا قرار می‌گیرد. توالی کرتاسه بالایی منطقه مورد مطالعه با امتداد E

Geological Time			Thickness m	Formation	Lithology	Description
ERA	Period	Epoch				
Quaternary						
Cenozoic	Neogene	Pliocene				
		Miocene	0-570	Upper Red		Conglomerate, sandstone, sandy marl, marl
	Paleogene	Oligocene	0-475	Qom		Marly limestone, marl, gypsum, tuff, conglomerate
			0-1150	Lower Red		Marl and sandy marl, partly gypsiferous
		Eocene	0-550	Kond		Marl, gypsum, sandstone and conglomerate
			1000-2000	Semanan		Tuff, sandstone and shale
	Paleocene		200-1000	Karaj		Dacitic tuff and shale
	UPPER			Fajan		Sandstone and conglomerate
Mesozoic	Cretaceous		400-700			
			K3			Sandy limestone, well-bedded, thick-bedded
			K2c			grey and cream limestone, massive, grey
			K2b			cherty limestone and , brown, grey and
		Lower	0-120	Tizkuh		cream dolomite, marl and marly limestone
			K2a			Limestone
	Jurassic	Malm	200-900	Lar		Cherty limestone and dolomite
		Dogger	0-320	Dalichai		Limestone, marly limestone, marl
		Lias	700-3000	Shemshak		Sandstone, shale and limestone
	Triassic		100-800	Elika		Dolomite and limestone
		Scythian				

شکل ۱- ستون چینه‌شناسی سازندهای مزوژوئیک و سنوزوئیک در ناحیه سمنان (داده‌های چینه‌شناسی و ضخامت از نبوی ۱۳۶۶) با تغییر.



شکل ۲- بیرون زدگی های کرتاسه بالایی و گسل های عمدۀ منطقه شمال شرقی شهمیرزاد. نقل از نقشه ۱: ۲۵۰۰۰۰ سمنان، (Nabavi et al. 1994) با اندکی تغییر. محل برش های رضا آباد R3 و R4، حیدر آباد H1 و H2، رضا برک A، در نقشه مشخص شده است.

با شروع نئوژن و در نتیجه حرکات کوهزایی آلپ پسین، بالا آمدگی در فلات ایران و نیز افت سطح جهانی آبهای حوضه فورلند دریایی به یک حوضه فورلند غیر دریایی تبدیل شده است. این تغییر شرایط رسوبگذاری با تشکیل نهشته های پلایایی در قاعده توالی آواری نئوژن در منطقه مورد مطالعه همراه بوده است. سازندهای سمنان، کند، قرمز پایینی، قم و قرمز بالایی منطقه مورد مطالعه در این شرایط نهشته شده اند. وجود همراهان ولکانوژن نیز با سازند قم از دیگر ویژگی های توالی رسوبی این منطقه می باشد. در پایان نئوژن با تشکیل راندگی های جدید و الحاق ورقه هایی از پوشش رسوبی، تجدید حیات فرایندهای فرسایش، حمل و رسوبگذاری مواد آواری در حوضه فورلند و حوضه های بین کوهستانی از نوع پشت خوکی (Piggy Back) راسب شده است. مواد آواری حاصل از فرسایش پهنه های بالا آمده، بادبزن های آبرفتی دریایی ارتفاعات را تغذیه می کردند. حرکت ورقه های رورانده به سمت جنوب، پیشروی بادبزن های آبرفتی در این جهت را سبب شده است و به این ترتیب توالی آواری نئوژن در منطقه راسب شده است (رحمی ۱۳۸۱).

روش مطالعه

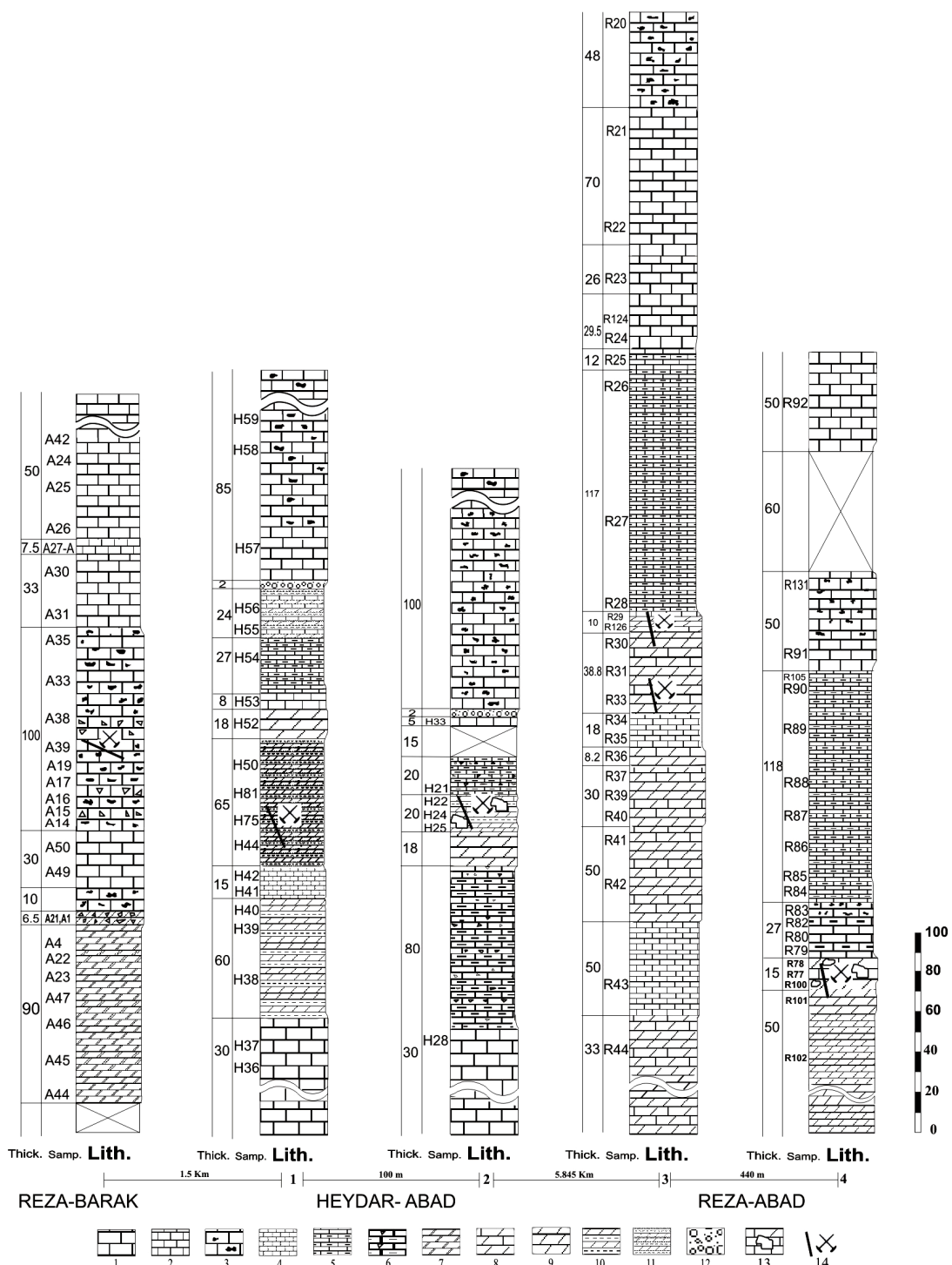
در این مطالعه پنج برش از سنگ های کربناته معادن سرب و روی متروکه رضا آباد (R)، حیدر آباد (H) و رضابرک (A) انتخاب شد

آواری به سمت جنوب همراه بوده است. رسوبات آواری در حوضه فورلند به صورت طبقات آواری سازند فجن ته نشین شده اند. با کاهش فعالیت نوار کوهزایی و فرونشینی لیتوسفر در زیر نوار کوهزایی البرز که با الحاق ورقه های جدید تومند شده است، شدت فرسایش کاهش یافته است و دریا مجدداً پهنه حوضه فورلند را پوشانیده است. رخساره های دریایی ائوسن- الیگوسن (سازند زیارت و کرج) در این شرایط راسب شده اند. بدنبال فشردگی های ناشی از رخداد کرتاسه پایانی (رویداد لارامید) و جریان های گرمابی وابسته، فازهای کششی سراسری، موجب مagmaزایی گسترده به صورت روانه های آتشفسانی و یا ردیفهای آذر آواری شده که بویژه در زمان ائوسن در بیشترین مقدار بوده است. فعالیت های آتشفسانی ائوسن، شامل مجموعه ای از سنگ های آذر آواری و گدازه های دریایی است که به طور عمدۀ سن ائوسن میانی دارند و تحت عنوان سازند کرج نامیده می شوند (رحمی ۱۳۸۱).

با توجه به مطالعات آقا نباتی (۱۳۸۳) و مشاهدات انجام شده در مناطق غرب سمنان، این سازند نشانگ تکاپوهای انفجاری شدید آتشفسانه های زیر دریایی در زمان ائوسن است که ضخامت این توالی گاه تا ۲۷۰۰ متر نیز می رسد و شامل طیف گسترده ای از سنگ های آتشفسانی، رخساره های حد واسط (توفیت و ماسه سنگ های توفی) و رخساره های رسوبی (سنگ آهک، شیل) است.

پتروگرافی سنگ‌های کربناته و وجود یا عدم وجود دولومیت مطالعه گردید. ۲۷ نمونه از دولومیتها و سنگ‌های دولومیت دار توسط Lumsden N CaCO₃ = md + b آنالیز شده و با استفاده از معادله Jones *et al.* (2001) و داده‌های (1979)، شیمیایی ۶ نمونه دولومیت خالص برای عناصر اصلی و فرعی

(شکل ۲ و ۳). سه برش از آنها توسط بازرگانی گیلانی و فرامرزی (۱۳۸۴) برداشت شده است. دو برش دیگر در رضا آباد و حیدر آباد به منظور بدست آوردن اطلاعات بیشتر از منطقه انتخاب و برداشت شد. مطالعه ۹۷ مقطع میکروسکوپی که بواسیله آلیزارین قرمز و فروسیانید پتانسیم رنگ آمیزی شده است (Dicson 1965)، برای تشخیص دقیقت



شکل ۳- ستون های چینه شناسی برش های کرتاسه بالایی مورد مطالعه. ۱: آهک توده ای ۲: آهک ضخیم لایه ۳: آهک چرت دار ۴: آهک نازک لایه ۵: آهک مارن دار ۶: آهک برشی ۷: دولومیت زین اسی ۸: دولومیت آهکدار ۹: دولومیت توده ای ۱۰: دولومیت ضخیم لایه با تناب مارن ۱۱: دولومیت نازک لایه با تناب مارن ۱۲: کنگلومرا ۱۳: حفرات کارستی ۱۴: معدن متروکه و گسل.

قرار گرفته است. در بخش میانی پروفیل دولواسپارایت به صورت محدود همراه توالی های استروماتولیت، پلت و کوپرولیت بصورت نازک لایه و دارای لامیناسیون های ظریف و مارن دار دیده می شود. در حیدر آباد این توالی از پایین به بالا شامل دولومیت متوسط لایه خاکستری رنگ متمایل به قرمز و قهوه ای و مارن همراه با توالی های کم عمق و روی آن دولومیت نازک لایه خاکستری رنگ و مارن است. سپس دولومیت ضخیم لایه قهوه ای و همچنین دولومیکرواسپارایت به صورت محدود و خاکستری رنگ، همراه توالی های آهکی استروماتولیتی، پلتی و کوپرولیتی بصورت نازک لایه، با لامیناسیون های ظریف و مارن در بالای پروفیل دیده می شود. در رضابرک این توالی شامل دولومیت زین اسبی توده ای خاکستری و آهک دولومیتی توده ای با رنگ خاکستری، دارای ندول های چرت می باشد. دولومیت زین اسبی در نمونه دستی دارای جلای مرواریدی می باشد. پروفیل های تهیه شده منطقه در شکل ۳ و موقعیت آنها در شکل ۲ مشخص شده است. بعلاوه کلسیت درشت بلور تا خیلی درشت بلور سفید و/یا نواری سیاه-سفید (رضا آباد و رضا برک) شکستگی ها و حفرات سنگ های دولومیتی را پر کرده است. آراغونیت نیز عمدتاً به رنگ سفید، شیری و گردوانی نیز در میکروکارست ها حضور دارد همچنین به صورت رگه ای با رنگ گردوانی در رضا آباد و زیتونی تا عسلی در رضا برک توالی کرتاسه بالایی را قطع می کند.



شکل ۴- بافت برشی ناشی از دولومیتی شدن انتخابی اجزاء در برش های رضا آباد، زمینه دولومیتی و قطعات میکرایتی می باشند.

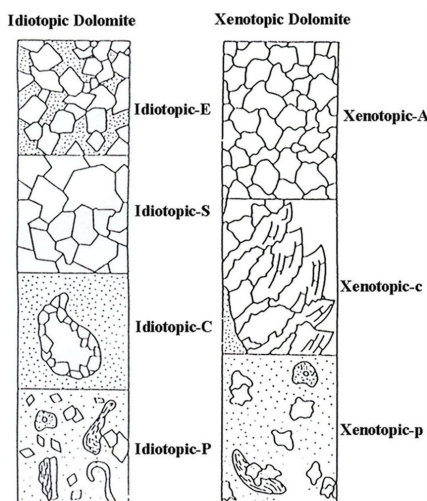
در برش های رضا آباد و حیدر آباد (شکل ۳) توالی کرتاسه بالایی شامل واحد های سنگی مختلفی می باشد که با توجه به مطالعات پتروگرافی رخساره آنها نیز شناسایی شده است. از قدیم به جدید این واحدها عبارتند از: دولومیت آهکدار و آهک نازک تا ضخیم لایه های رخساره های سدی و لاجون شامل گرین استون آلیتی دانه های مجتمع پلتی، گرین استون- پکستون بایوکلستی پلتی، گرین استون آلیتی اینترالکلستی، گرین استون- پکستون پلتی آلیتی، پکستون

(کلسیم و منیزیم به روش تیتراسیون، آهن به روش اسپکتروفوتومتر، استرانسیم، منگنز و سرب به روش جذب اتمی و سدیم با روش Saline فوتومتر) در سازمان زمین شناسی انجام گرفت. تجزیه به روش TD-XRF و ICP, INAA دانشگاه کلاوستان آلمان انجام شد. نمونه های تجزیه شیمیایی مرتبط از انواع خالص و یا با درصد اندک کلسیت حضور داشت با استفاده از اسید استیک (CH₃COOH) خالص سه مرحله شستشو داده شدند. اسید استیک با کلسیت موجود در شبکه دولومیت واکنش نمی دهد. روش کار به این ترتیب است که ۳۰ سی سی اسید به ۳۰ گرم نمونه پودر شده اضافه می گردد (به ازای هر گرم پودر یک سی- سی اسید استیک). سپس حجم محلول را با استفاده از آب مقطر به ۱۵۰ سی سی رساندیم. لازم بذکر است که بدون اضافه کردن آب مقطر واکنشی صورت نمی گیرد و کلسیت آزاد از سیستم خارج نمی شود. تعداد دفعات شستشو و مدت زمان آنها در صورتی اتمام می یابد که جوشش در محلول فوق بسیار کم شود و محلول نجوشد. صحت خلوص دولومیت حاصل با استفاده از نمودارهای XRD تهیه شده قبل و بعد از واکنش با اسید مورد بررسی قرار گرفت. نمودارهای XRD که در این مطالعه استفاده شده با دستگاه D4 بروکر آلمان و با لامپ مس با طول موج ۱/۵۴۰۶ nm (Lumsden 1979), N CaCO₃= md + b (که در آن CaCO₃ درصد کربنات کلسیم در دولومیت ، b= - m=333.33 و m= 911.99 است)، و داده های Jones et al. (2001) و Greg & Sheltan Runnells (1970) نمودارهای XRD دولومیت های منطقه بررسی شد و درصد کربنات کلسیم موجود در دولومیت ها بدست آمد. از آنجا که در اغلب نمودارها کوارتز وجود داشت و یا اضافه گردیده بود، با توجه به پیک d₁₀₁ = ۳/۳۴۳ Å کوارتز و فرمول برآگ (λ_{Cu}=1.5406, d_Q=3.3437, 2θ_Q=26.6381) تصحیحات لازم انجام و سپس از فرمول فوق استفاده گردید (شکل ۱۰). مقدار FeO داده های ژئوشیمیایی برای بدست آوردن میزان FeCO₃ با Fe₂O₃ + 6 H⁺ + 2 e⁻ → 2 FeO + OH + 5H⁺ استفاده از معادله با بدست آمده است. لازم بذکر است که با توجه به مطالعات پتروگرافی در مقدار Fe تصحیح صورت گرفته است.

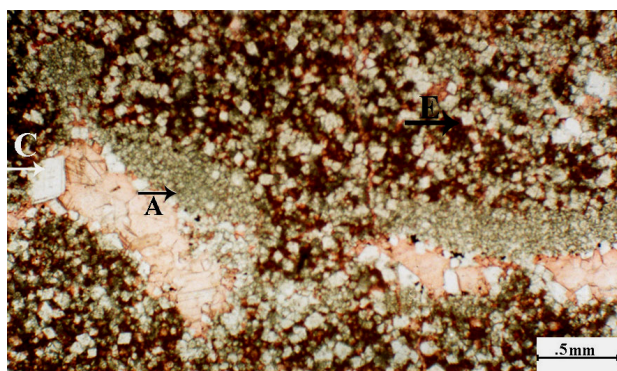
ویژگی های عمومی

در رضا آباد دولومیت در افق های استراتیگرافی خاصی وجود دارد. در قاعده پروفیل رضا آباد این توالی شامل دولومیت آهکدار کرم رنگ تا کرم متمایل به قهوه ای متوسط تا ضخیم لایه با ظاهری برشی است (شکل ۴).

روی آن دولومیت آهکدار کرم- خاکستری ضخیم تا متوسط لایه



شکل ۵- طبقه بندی دولومیت ها به وسیله (Sibley and Gregg (1987)



شکل ۶- لخته هایی از میکرودولومیت همراه با دولومیت ایدیوتوبیک E در زمینه و ایدیوتوبیک C در حاشیه حفرات که با کلسیت پویکیلوتوپیک هیدروترمالی پر شده اند، نمونه H44، 50X، (PPL)

-۲- ایدیوتوبیک E، (خودشکل) از بلورهای خودشکل با خاموشی مستقیم تشکیل شده است. اندازه بلورها از ۲۰ تا ۲۷۰ میکرون است. این دولومیت ها دولواسپارایت نیز خوانده می شوند. فضای بین بلورها، آنها اغلب بوسیله میکرات کلسیتی پر شده است. برخی درشت بلورها، هسته ابری و یا کلسیتی دارند. همراه آن انواع دیگر دولومیت دیده می شود. دولومیت ایدیوتوبیک E از انواع دولومیت های جانشینی می باشد. در برخی لایه ها این نوع دولومیت بر اثر واکنش با آب های متئوریک طی رخنمون جوی و یا دفن کم عمق در حاشیه یا بطور کامل به کلسیت تبدیل شده است (ددولومیتی شدن)، (شکل های ۷-الف، ب، د و ۸-الف، ب).

-۳- ایدیوتوبیک P، (پورفیروتوپیک) بلورهای دولومیت خودشکل در زمینه آهکی شناورند. اندازه این بلورها از ۲۰ تا ۲۱۰ میکرون متغیر است. این دولومیت ها را نیز مانند دولومیت های فوق می توان دولواسپارایت نیز نامید. دارای هسته ابری و یا کلسیتی هستند و در شکستگی ها، استیلولیت ها و / یا در اطراف آلوکم ها (آلیت، پلت و

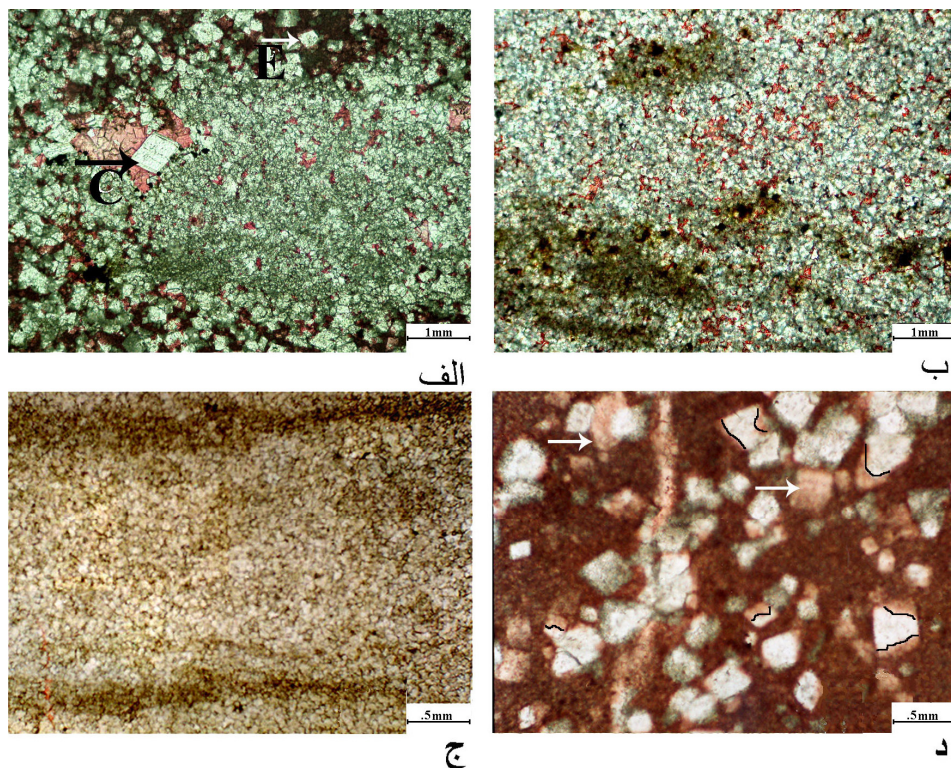
جلبکی بایوکلسی پلتی، پکستون- گرین استون پلتی بایوکلسی، گرین استون- پکستون پلتی. همچنین با گسترش بسیار محدود باند- استون مرجانی در رضا آباد و باند استون بایو کلسی در حیدر آباد مشاهده می شود. رخساره ها فوق شدیداً دولومیتی شده اند. بر روی این واحدها آهک نازک لایه با لامیناسیون ظرفی و مارن با رخساره های پلاتفرم محدود و سابقاً شامل کلسی مادستون، بینداستون جلبکی پلتی و کوپرولیتی، دولومیت و تمپستایت قرار دارند. آهک های توده ای خاکستری که در بخش های بالایی چرتی می باشد، با رخساره های شب قاره و دریایی باز مانند پکستون- وکستون بایوکلسی با پلسی پودهایی چون اویستر و اینوسراموس و رخساره های حوضه ای، اسپیکولیت و وکستون بایوکلسی با فسیل های پلاژیک در بالاترین بخش پروفیل ها قرار گرفته است.

در برش رضا برک (شکل ۳) در پایین دولومیت زین اسپی توده ای و دولومیت آهکدار با رخساره های لاغون و پلاتفرم محدود شده مانند گرین استون پلتی و گرین استون بایوکلسی (اینوسراموس، میلیولیده، ...) وجود دارد. سپس آهک توده ای خاکستری و چرت دار دولومیتی شده با رخساره های دریایی باز وحوضه شامل پکستون بایوکلسی و اسپیکولیت و در نهایت آهک ضخیم لایه با رخساره ها لاغون، پکستون- گرین استون بایوکلسی جلبکی (جلبک قرمز) و بانداستون بایوکلسی (رودیست و برویزوآ) قرار گرفته اند.

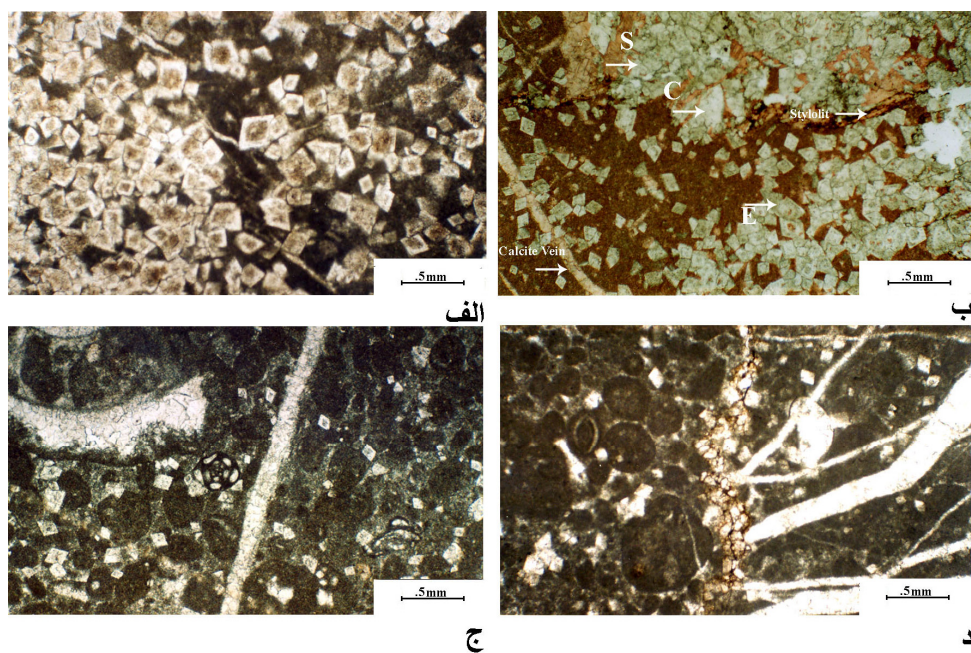
پتروگرافی

با استفاده از طبقه بندی دولومیت ها بوسیله Sibley & Gregg (1987) که بافت های دولومیتی را به دو دسته ایدیوتوبیک و گزنوتوپیک تقسیم کرده اند (شکل ۵)، و با در نظر گرفتن طبقه بندی های Friedman (1965) Mazzullo (1992) و Chen et al. (2004) منطقه مورد مطالعه با دقت نظر به داده های Gregg & Shelton (1990) و Nader et al. (2004) به ۶ نوع به شرح زیر تقسیم بندی می شود.

-۱- گزنوتوپیک A (بی شکل) از بلورهای بی شکل (Anhedral) تشکیل یافته است. اندازه بلورها از ۵ تا ۱۰ میکرون در تغییر می باشد. این دولومیت ها، دولومیکرایت نیز خوانده می شوند و عموماً رنگ خاکستری تیره دارند (شکل ۶ و ۷-الف). این دولومیت ها متراکم و بدون تخلخل می باشند. لذا در طی مراحل هیدروترمال که موجب کانی سازی سرب و روی در منطقه شده است، توانسته اند مانند سدی در برابر محلول هیدروترمالی قرار بگیرند و باعث تمرکز کلسیت پویکیلوتوپیک هیدروترمالی در بخش های خاص بشوند. این دولومیت ها در طی مراحل دیاژن در حال تبدیل به دولومیت ایدیوتوبیک E هستند (شکل ۶).



شکل ۷-الف) لخته باقی مانده از میکرودولومیت که در حاشیه به دولومیت ایدیوتوبیک E تبدیل شده است، نمونه ۱۰۰X، (PPL)، H44. حفرات توسط کلسیت پویکیلوتوپیک بعدی و دولومیت ایدیوتوبیک C پر شده اند. ب) دولومیت ایدیوتوبیک E با اندازه کوچک همراه با دانه هایی از کانی های اکسید آهن و آثاری از بافت اولیه، نمونه ۱۰۰X، (PPL)، R87. ج) دولومیت ایدیوتوبیک S ریز بلور که به نظر می رسد از تبلور دوباره میکرودولومیت بوجود آمده است، نمونه H56. د) دولومیت های ایدیوتوبیک E که در حاشیه و یا بطور کامل کلسیتی شده اند، حاشیه های کلسیتی شده بوسیله خط مشکی از بخش های دولومیتی متمایز شده است. نمونه ۱۰۰X، (PPL)، H38.



شکل ۸-الف) دولومیت ایدیوتوبیک E با هسته ابری این نمونه دارای بافت برشی (شکل ۴) می باشد، نمونه ۱۲۱ R .50X، (PPL). ب) دولومیت ایدیوتوبیک E با هسته ابری و یا کلسیتی (با فلش مشخص شده) همراه با دولومیت ایدیوتوبیک S و C، دولومیت ایدیوتوبیک S در حاشیه استیلولیت متبلور شده است، نمونه ۵۰X، (PPL)، R 37. ج) دولومیت ایدیوتوبیک P در ماتریکس آلیت ها، پلت، میلیولیده و سایر آلوم ها، نمونه ۴۱ R .50X، (PPL). د) دولومیت ایدیوتوبیک P درون استیلولیتی که رگه های کلسیتی را قطع کرده است. نمونه ۱۰۹ R 100X، (PPL).

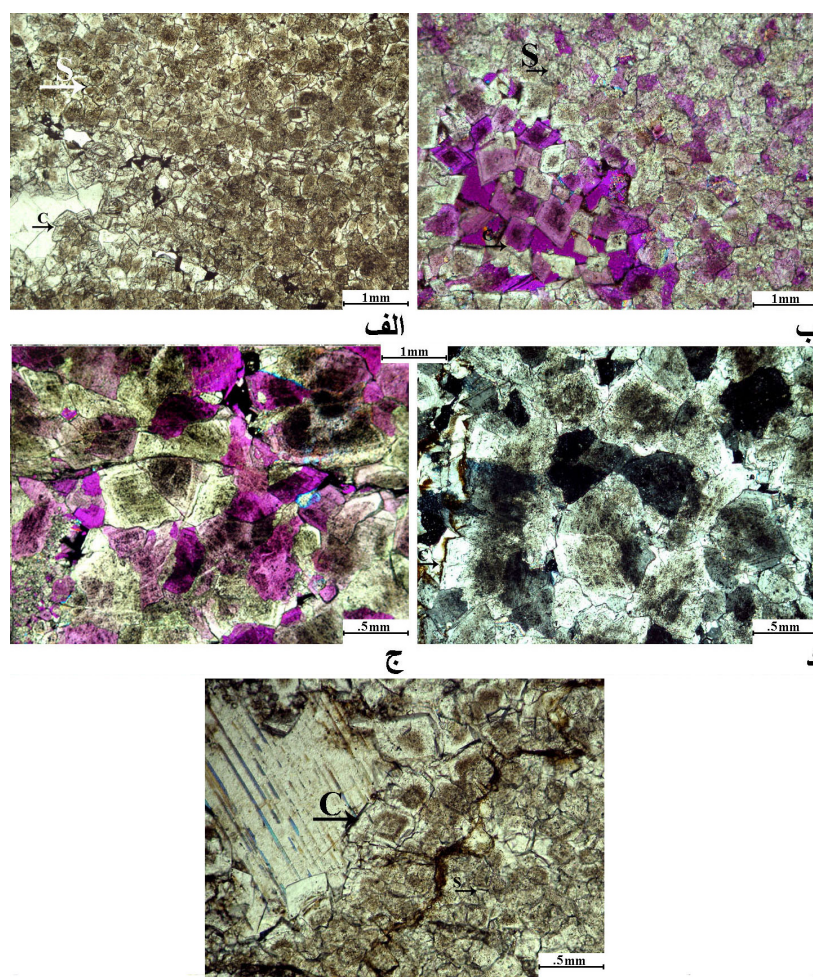
در امتداد و/ یا نزدیکی گسل ها و حفرات کارستی که در آنها کانی سازی انجام گرفته تشکیل شده است (شکل ۹-الف، ب، ۵).

۴-ایدیوتوبیک C دولومیت های خود شکل با بلورهای درشت، دارای زون بندی، با هسته ابری و حاشیه شفاف که به عنوان سیمان روی حفرات و فضاهای قالبی انحلالی را می پوشانند و/ یا در حاشیه استیلوولیت ها ظاهر می شوند. اندازه آنها از ۱۰۰ تا ۸۰۰ میکرون متغیر است. گاهی رشد بلور به نحوی است که حفره را کاملاً پر کرده و در نتیجه شکل بلور دولومیت ساب هدراal دیده می شود (شکل ۷-الف، ۸-ب، ۹-الف، ب، ۵).

۵-گزنوتوبیک C، (دولومیت زین اسبی) دولومیت های درشت و خمیده با خاموشی موجی و حالت ابری که ناشی از حضور سیالات درگیر می باشد. اندازه این بلورها ۲۰۰ میکرون تا ۱ میلیمتر (به طور

فرام) ظاهر شده اند. برخی بلورها حتی در داخل آلوکم پیش رفته‌اند (شکل ۸-د، ج).

ایدیوتوبیک S، (نیمه شکل) که به دو دسته تقسیم می شود: نوع اول شامل بلورهای دولومیت کوچک نیمه شکل تا بی شکل، با اندازه ۶۰-۱۶ میکرون است، که سیمای رسوبگذاری اولیه را محو کرده اند. لایه بندی اولیه بnderت قابل مشاهده است. این دولومیت را می توان تحت عنوان دولومیکرواسپاریت نیز نامید (شکل ۷-ج). نوع دیگر آن شامل بلورهای بزرگتر دولومیت می باشد. این بلورها بی شکل (ندرتا نیمه شکل)، با مرزهای بین بلوری نامنظم و اندازه ۴۰ تا ۳۱۰ میکرون می باشند. این بلورها اغلب هسته ابری و بnderت حاشیه تمیز دارند. در حفرات آن کلسیت پویکیلوتوپیک و درشت بلور مربوط به مراحل کانی سازی و/ یا دولومیت ایدیوتوبیک C متبلور شده است. این نوع اکثراً



شکل ۹-الف) دولومیت ایدیوتوبیک S با اندازه ۳۱۰ تا ۴۰ میکرون و شدیداً ابری، حفره توسط کلسیت پویکیلوتوپیک پرشده است. در حاشیه حفرات دولومیت ایدیوتوبیک C تشکیل شده است. لکه های سیاه ماده معدنی می باشد نمونه (PPL), 50X, H81. (b) دولومیت ایدیوتوبیک S با اندازه ۳۱۰ تا ۴۰ میکرون، دولومیت ایدیوتوبیک C ذونه با هسته ابری درون حفره تشکیل شده است نمونه (XPL), 50X, R 25. (c) دولومیت گزنوتوبیک C (زین اسبی) ذونه و ابری، نمونه (XPL), 50X, A4. (d) دولومیت گزنوتوبیک C (زین اسبی) ابری با بلورهای خمیده شکل ، نمونه (XPL), 50X, A22. (e) دولومیت ایدیوتوبیک S با اندازه ۴۰ تا ۳۱۰ میکرون و ابری، حفره توسط کلسیت پویکیلوتوپیک پرشده است. در حاشیه حفرات دولومیت ایدیوتوبیک C با هسته ابری تشکیل شده است. رگه های سیاه ماده معدنی می باشد نمونه (PPL), 50X, R102.

بحرانی بین ۵۰ تا ۱۰۰ درجه سطوح بلوری غیر مسطح (Non planar) و به صورت بی شکل (Anhedral) بوجود می آیند (Mazzullo 1992, Gregg & Shelton 1990). سپس ایدیوتوبیک C و گزنوتوبیک C (زین اسپی) در حفرات، استیلولیت ها و شکستگی ها توسط محلول های بعدی تشکیل شده‌اند.

دولومیت زین اسپی که دارای پتانسیل بالای ژئوترمتری است، وقایع دیاژنتیک تحت دمای C ۱۵۰-۶۰° را نشان می دهد و به طور کلی همراه با هیدروکربن ها، کانی سازی اپی ژنتیک فلزات پایه و کربنات های غنی از سولفات می باشند. این همراهی ها به تشکیل آن در مراحل پایانی دیاژنر (Very late diagenetic) و بوسیله احیاء سولفات اشاره دارد. این دولومیت از آب های اپی ژنتیک با Ph متوسط تا احیایی بالا تشکیل می گردد (Radke & Mathis 1980).

فرمول لومسدن

میزان کربنات کلسیم دولومیت ها با فرمول کلی $\text{Ca}_x \text{Mg}_{(1-x)} (\text{CO}_3)_2$ از ۴۸ تا ۶۲/۵ درصد می تواند تغییر کند (Jones *et al.* 2001). بیشتر دولومیت های طبیعی دارای یونهای Ca^{+2} اضافی، با نسبت (۵۸:۴۲)، (Ca:Mg) بوده و استیکیومتریک (۵۰:۵۰)، (Ca:Mg) نیستند. جانشینی Ca^{+2} به جای Mg^{+2} فاصله شبکه ای را افزایش می دهد، و این افزایش را نیز می توان توسط نمودار XRD از طریق جابجایی موقعیت قله d_{104} اندازه گیری کرد (Tucker 1991). قله d_{104} برای دولومیت $\text{Ca}_{50} \text{Mg}_{50}$ ۲/۸۸۶ \AA ° است در حالیکه برای دولومیت $\text{Ca}_{55} \text{Mg}_{45}$ ۲/۹۰۱ \AA ° است (Lumsden 1979) (Goldsmith & Graf 1958). به نقل از (Lumsden 1979) از این دو داده استفاده کرد و ارتباط خطی بین d_{104} و ترکیب را به صورت خطی بیان نمود. جانشینی Fe بجای Mg در ساختمان دولومیت در نمودار XRD آن اثر مشابه ای دارد (Runnells 1970). میزان FeCO_3 مطلوب دولومیت برای استفاده از این روش کمتر از ۳ مول درصد می باشد. این تکنیک تحت عنوان PF-XRD یک ابزار قوی برای اندازه گیری دو عنصر اصلی دولومیت با آهن پایین فراهم می کند. درصد کربنات های کلسیم، منیزیم، آهن و منگنز نمونه های R33، H24، A4، R40، R102، R87 H56، H75 در جداول ۱ تا ۳ آمده است.

جدول ۱- درصد اکسید نمونه ها با استفاده از تجزیه به روش مرطوب.

Oxide	H24	H56	H75	R102	R87	A4
<i>CaO %</i>	30.38	31.06	32.69	27.63	30.99	29.29
<i>MgO %</i>	20.84	18.51	19.89	22.88	21.09	23.91
<i>Fe₂O₃ %</i>	0.35	0.23	0.25	0.22	0.31	0.08
<i>MnO (ppm)</i>	100	100.69	98.1	100.69	96.81	98.1

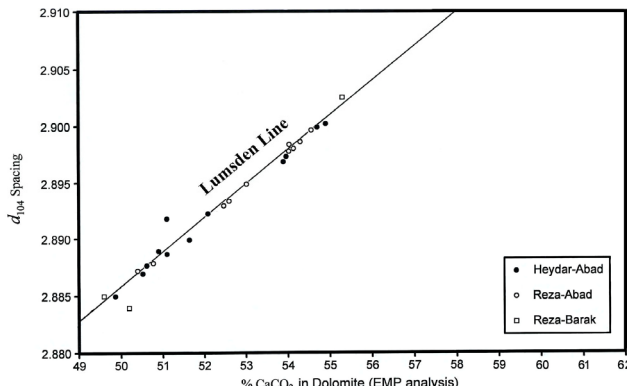
متوسط ۶۰۰ میکرون) است. این دولومیت ها پرکننده فضاهای خالی به صورت سیمان بوده و یک کانی جانشینی نیز محسوب می شود. در این نوع دولومیت فضاهای باز باقیمانده غالباً توسط کلسیت پوبکیلوتوبیک پر شده است (شکل ۹-ج، ۵).

پتروژن

در ادوار زمین شناسی بیشتر دولومیت های دانه ریز، دولومیکریت ها را با مشاهده شواهدی از رسوبگذاری در حاشیه ساحل، ناشی از پمپ شدن آب در اثر تبخیر در سبخاخها (Hardie 1987) و یا دولومیت تشکیل شده در مراحل اول دیاژنر (Very early diagenesis) در نظر می گیرند. بقایای این دولومیت ها را به صورت لخته هایی می توان همراه دولومیت ایدیوتوبیک E مشاهده کرد. دولومیت ایدیوتوبیک S (دولومیکرواسپارایت با اندازه کوچکتر از ۴۰ میکرون) با توجه به فرم بلوری، اندازه، همراه بودن با توالی محیطهای کم عمق، استروماتولیت ها، بلورهای ژیپس و سولفیدها (پیریت) احتمالاً از تبلور مجدد دولومیکرایت ها بر اثر نفوذ آب های متاوریک و یا سیالات حوضه ای بوجود آمده اند. بلورهای خودشکل سولفید بر اثر احیا یون سولفات که یکی از بازدارنده های جنبشی مهم در دولومیتی شدن است بوجود می آیند (Carballo *et al.* 1987).

دولومیت های ایدیوتوبیک E، P، جانشینی، به طور پراکنده در میکرایت و یا در فضای بین آلومک ها (ماتریکس سنگ های کربناته بیشتر تحت تأثیر دولومیتیزاسیون قرار گرفته است) حاضر هستند. این دولومیت ها که با توجه به اندازه بلوری دولواسپارایت نیز نامیده می شوند از تبلور مجدد (Recrystallization) دولومیکرایت ها و دولومیکرواسپارایت ها بوجود آمده اند و رگه های کلسیت اولیه را قطع کرده اند و عمدها هسته ای برای رشد ثانویه سایر انواع دولومیت و پیشرفت دولومیتی شدن هستند. پایین افتادن سطح آب دریا در انتهای کرتاسه بالایی می توانسته باعث تشکیل محیط دیاژنریک مخلوط آب شور و شیرین شود. در چنین محیطی دولومیت های ایدیوتوبیک E و دولومیت ایدیوتوبیک S با اندازه ۴۰ تا ۳۱۰ میکرون و یا بخشی از آنها می توانسته اند تشکیل بشوند. عامل دیگری که در تشکیل این نمونه ها اهمیت دارد فرایندهای هیدروترمالی است که در شرایط تدفین کم عمق (بدلیل وجود استیلولیت ها و درشتی اندازه بلورها) قابل تصور است. این انواع دولومیت بعنوان دولومیت های دیاژنریک تأخیری (Late diagenetic dolomite) در نظر گرفته می شوند. دولومیت های ایدیوتوبیک E، P و دولومیت ایدیوتوبیک S در دمای پایین تشکیل شده اند. در دمای پایین سطوح بلوری بصورت مسطح (Planar) و بلورهای شکل دار (Euhedral) تا نیمه شکل دار (Subhedral) رشد می کنند، در حالیکه بالاتر از دمای

جدول ۴ آمده است، که به شرح زیر مورد بررسی قرار می‌گیرد. لازم به ذکر است که داده‌های ژئوشیمیایی محدود بوده و عموماً پاسخ لازم را نمی‌دهد.



شكل ۱۰- خط لومسدن نشان دهنده درصد کربنات کلسیم تعیین شده بوسیله آنالیز EMP با قله d_{104} می‌باشد. جایگاه ترکیب دولومیت‌های مناطق مورد مطالعه با استفاده از فرمول Lumsden در شکل مشخص است.

Mg
مقدار Mg در دولومیت‌های خالص عموماً $13/8$ درصد است در حالیکه میزان Mg در دولومیت‌های منطقه مورد مطالعه از $7/5$ تا $14/5$ درصد در تغییر می‌باشد که میانگین آنها عدد ۱۱ درصد را نشان می‌دهد. میزان کربنات منیزیم دولومیت‌های زین اسبی $31-49$ درصد می‌باشد (Radke & Mathis 1980). بالاترین مقدار کربنات منیزیم در دولومیت‌های منطقه مورد مطالعه مربوط به دولومیت زین اسبی نمونه A4 می‌باشد که درصد کربنات کلسیمی برابر با $48/98$ دارد.

Sr
مقدار Sr در دولومیت‌های این منطقه بین 84 ppm تا 178 ppm (میانگین 125 ppm) تغییر می‌کند. مقدار Sr در دولومیت‌های قدیمی تراز هولوسن کمتر از 200 ppm است (Mazzullo 1992). میزان استرانسیم در طول زمان دیاژنر کم می‌شود. همچنین برای تشخیص دولومیت‌های اولیه از ثانویه می‌توان از اندازه بلورهای دولومیت استفاده کرد. برای مثال دولومیت‌های دانه ریز بعنوان دولومیت تشکیل شده در مراحل اولیه دیاژنر در نظر گرفته می‌شوند. عدم هماهنگی اندازه بلورهای دولومیت و مقدار Sr در دولومیت‌های کرتاسه شهمیرزاد حاکی از سه دلیل عمده می‌باشد. بالا بودن مقدار Sr در نمونه‌هایی که به صورت مخلوط با آهک‌ها هستند و جدایش بر روی آنها صورت نگرفته است. از طرفی نشان دهنده پیچیدگی فرایندهای دیاژنتیکی و تأثیر محلولهای تغییر یافته دریائی و آب‌های متئوریک روی دولومیت‌ها است به همان صورتی که در دولومیت‌های بخش میانی سازند الیکا در منطقه شهمیرزاد فیاضی (۱۳۸۴) گزارش داده است. نهایتاً می‌تواند متأثر از محلول‌های گرمابی باشد که باعث کانسسار زایی سرب و روی

جدول ۲- درصد کربنات نمونه‌ها با استفاده از تجزیه به روش مرطوب.

% Carbonate	H24	H56	H75	R102	R87	A4
CaCO_3	55.03	58.79	58.28	50.66	55.54	51.01
MgCO_3	44.39	41.2	41.7	49.33	44.45	48.98
FeCO_3	0.25	0.16	0.17	0.14	0.2	0.11
MnCO_3	0.02	0.02	0.01	0.02	0.01	0.01

جدول ۳- درصد اکسیدها و کربنات‌های نمونه H24 و R33 با استفاده از تجزیه XRF

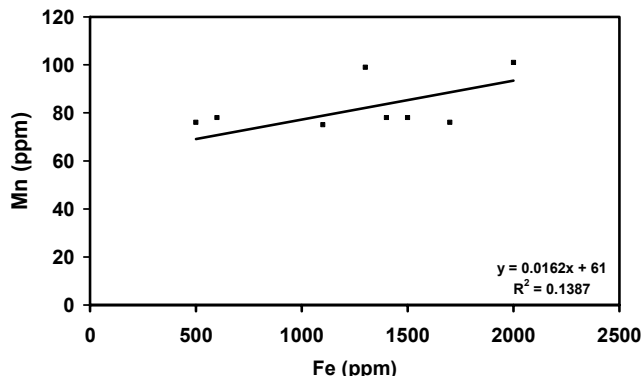
% Oxide	H24	R33	% Carbonate	H24	R33
CaO	33.5	38.69	CaCO_3	59.83	71.34
MgO	18.51	13.21	MgCO_3	38.87	28.65
Fe_2O_3	0.17	0.2	FeCO_3	0.12	0.14
MnO	0.01	0.01	MnCO_3	0.02	0.02

بنابر این با توجه به تجزیه و تحلیل ۲۵ نمودار XRD تهیه شده از نمونه‌های دولومیت دار و تجزیه شیمیایی مرطوب ۶ نمونه و ۲ نمونه XRF ترکیب اکثر دولومیت‌های منطقه نزدیک به فرمول عمومی آن است. دولومیت‌های منطقه با توجه به معادله لومسدن از نظر میزان کربنات کلسیم به ۳ دسته قابل تقسیم هستند، $51/5-49/5$ ٪، $53/5-51/5$ ٪ و $55/5-53/5$ ٪ (شکل ۱۰). میزان کربنات کلسیم دولومیت‌های رضا آباد اغلب مقداری $53/5-55/5$ ٪ را نشان می‌دهند. نمونه‌های پودر مانند موجود در گسل‌ها میزان کربنات کلسیم حدود $49/5-51/5$ ٪ دارند. دولومیت‌های ریز بلور همراه با توالی پری تایdal و شرایط تبخیری به طور معمول بیشتر استیکیومتریک هستند (Taylal & Gregg 1990). دولومیت‌های پری تایdal کرتاسه بالایی به طور عمده غنی از کلسیم و درشت بلورتر می‌باشند. این تفاوت نشانده تأثیر سیالات غنی از Ca با دماهای بالاتر بر روی دولومیت‌های پری تایdal است (Hardie 1987). دولومیت زین اسبی به میزان $60-50$ مول درصد کربنات کلسیم دارد (Radke & Mathis 1980). نمونه‌های دولومیت زین اسبی که درپروفیل رضا برک وجود دارند درصد کربنات کلسیمی در حدود $51/101$ را نشان می‌دهند.

توزیع عناصر

اضافه کردن داده‌های ژئوشیمیایی به اطلاعات پتروگرافی می‌تواند درک بهتری از منشاء، زمان تشکیل، ترکیب سیال دولومیت‌ساز، مدل دولومیتی شدن و روند دیاژنر را فراهم کند. عnde عناصری که در این مطالعات مورد استفاده قرار می‌گیرند منیزیم، استرانسیم، سدیم، آهن و منگنز می‌باشند (Swart et al. 2005, Marshall 1992, Nelson & Read 1990, Gregg & Shelton 1989). داده‌های بدست آمده از آزمایشات ژئوشیمیایی نمونه‌های دولومیت منطقه مورد مطالعه در

۱۲). در دولومیت های ایدیوتوبیک S ریز بلور مورد مطالعه که طی دیاژن اولیه ایجاد شده اند مقدار آهن بدیل مشاهده کانی خودشکل اکسید آهن و رس در مقاطع، بالاتر از دولومیت های دیاژنتیک ثانویه است که با توجه به مطالعات پتروگرافی در مقدار آن تصحیح صورت گرفته است.

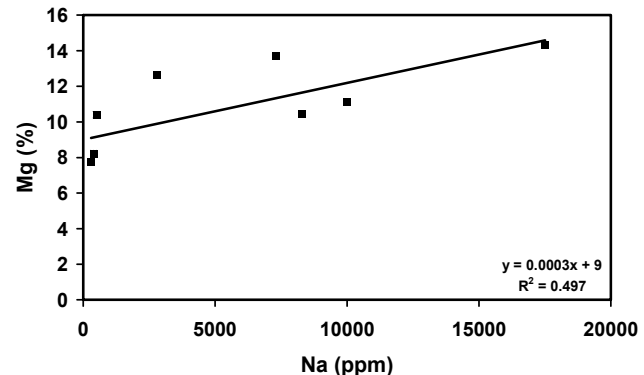


شکل ۱۲- نمودار Fe در مقابل Mn، تغییرات Fe نسبت به Mn روند تصاعدی را نشان می دهد. مقدار Fe در دولومیت های ایدیوتوبیک C، E، P و درشت بلور بیشتر از ایدیوتوبیک S ریز بلور و زین اسپی می باشد. مقدادر Mn در این نمونه ها تغییر شدیدی نسبت به یکدیگر ندارند.

Mn مقدار ۱۰۱ ppm است و دارای میانگین ۸۲/۵ ppm می باشد. نمودارهای Burns & Baker (1986) نشان می دهد که آهن و منگنز بر خلاف سدیم و استرانسیم در طول دیاژن به سنگ اضافه می شوند و رابطه نزدیکی با هم دارند. در دولومیت های مورد مطالعه نیز تغییرات Mn به Fe روند تصاعدی را نشان می دهد (شکل ۱۲). تمرکز بیشتر Mn مانند Fe به شرایط احیایی حاکم بر محیط بستگی دارد، از آنجاییکه در سطح زمین شرایط اکسیدان و در اعمق شرایط احیایی حاکم می باشد دولومیت های دیاژنتیک اولیه که در محیط های سطح زمین تشکیل می گردند مقدادر Mn کمتر و دولومیت های دیاژن تأخیری که معمولاً در طی دفن کم عمق یا عمیق ایجاد می شوند مقدادر Mn بیشتری دارند (Tucker & Wright 1990). در مورد دولومیت های کرتاسه بالایی، مقدادر Mn دولومیکرواسپارایت ها، میانگین ۸۶/۶۶ ppm در مقایسه با دولواسپارایت ها با میانگین ۷۶/۵ ppm پایین تر است. به نظر می رسد دیاژن و خصوصاً دولومیتی شدن تعییر شدیدی در محتوای Mn ندارد، لذا از آنجایی که مقدار Mn در آرگونیت دریایی خالص کمتر از ۲۰ ppm است لذا به نظر می رسد که کانی شناسی اولیه این دولومیت ها کلسیتی بوده است (Bencini & Turi 1974).

همراه با کلسیت های نواری و دولومیت شده است.

Na سدیم فراوان ترین کاتیون موجود در آب دریا می باشد و بعنوان شاخصی برای پی بردن به درجه شوری سیالات قدیمه (Paleo Salinity) استفاده می شود. دولومیت های عهد حاضر مقدار سدیم ۱۰۰۰-۳۰۰۰ ppm دارد (Land & Hoaps 1973). مقدار Na در دولومیت های مورد مطالعه بین ۳۰۰-۱۷۵۰۰ ppm (میانگین ۵۸۸۷ ppm) است. علی رغم اینکه میزان سدیم در طول زمان دیاژن و با افزایش اندازه بلور باید کمتر شود بیشتر دولومیت های درشت بلور چنین تغییری را نشان نمی دهند. این امر به احتمال زیاد مربوط به مایعاتی است که در حین دولومیت زایی در اختیار دولومیت قرار گرفته اند که منشاء آنها از مایعات هیبرسالین می باشد. ترسیم نمودار Na در مقابل Mg نشان می دهد که تمرکز Na با افزایش مقدادر Mg افزایش می یابد (محمودی و آدابی ۱۳۸۴) (شکل ۱۱). مقدادر نسبتاً بالای سدیم در این دولومیت ها حاکی از حالت غیر استیکیومتریک (non-stiochiometry) آنها است.



شکل ۱۱- نمودار Na در مقابل Mg، تمرکز Na با افزایش مقدادر Mg افزایش می یابد. بیشترین مقدادر Na و Mg در دولومیت زین اسپی دیده می شود.

Fe تمرکز Fe در دولومیت های مورد مطالعه از ۲۵۰۰-۵۰۰ ppm و دارای میانگین ۱۸۲۵ ppm می باشد. مقدار Fe در دولومیت های ایدیوتوبیک S با اندازه ۴۰ تا ۳۱۰ میکرون و ایدیوتوبیک C، E و P بیشتر از دولومیت های ایدیوتوبیک S با اندازه ۶۰-۱۶ میکرون می باشد. در مورد دولومیت های کرتاسه بالایی مقدادر Fe دولومیکرواسپارایت ها با میانگین ۸۵۰ ppm در مقایسه با دولواسپارایت ها که دارای Fe با میانگین ۱۴۰۰ ppm هستند پایین تر می باشد. مقدادر آهن در دولومیت های اولیه نزدیک به سطح بدليل شرایط اکسیداسیونی، نسبت به دولومیت های تدفینی که در شرایط احیایی تشکیل می گردند، پایین تر است (Tucker & Wright 1990). پایین ترین مقدار Fe در دولومیت زین اسپی دیده می شود (شکل

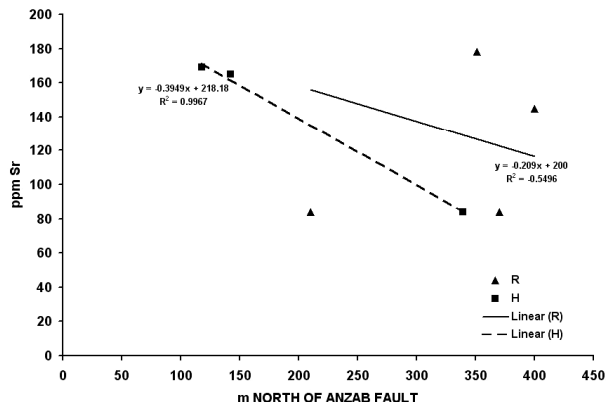
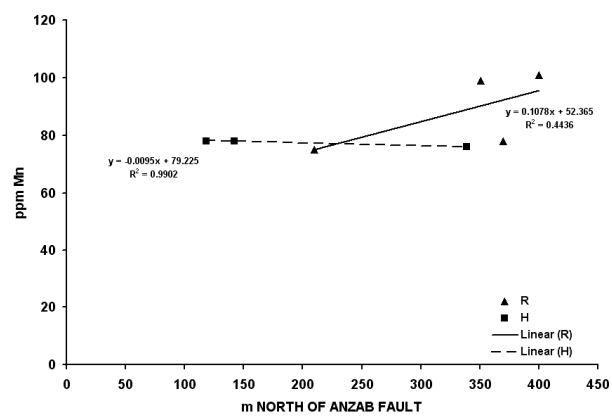
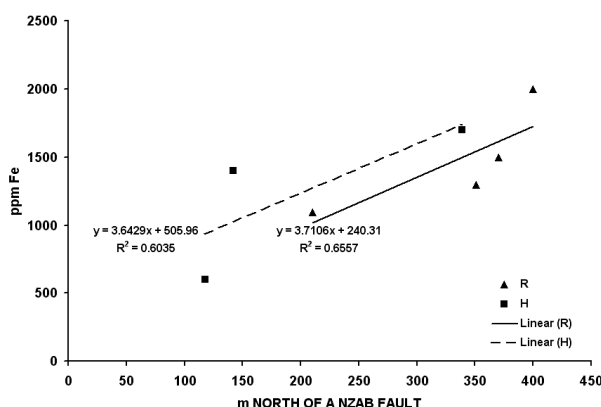
۲) دارای مقادیر کم تر Mn^{2+} و Fe^{2+} و زیادتر Sr^{2+} هستند و بلعکس نمونه های دورتر از گسل دارای مقادیر بیشتر Mn^{2+} و Fe^{2+} و کمتر Sr^{2+} می باشند. لذا احتمالاً یک جریان سیال از شمال به جنوب نسبت به گسل انزاب، در منطقه وجود داشته است که در طی دیاژنز باعث دولومیتی شدن توالی کرتاسه شده است.

جدول ۴ - داده های ژئوشیمیایی عناصر اصلی، فرعی و کمیاب ۸ نمونه از دولومیت های مورد مطالعه ، نمونه های H56 و R87 از دولومیت های آیدیوتوبیک S ریز بلور، R40 و R102 و H24 و H75 دولومیت آیدیوتوبیک درشت بلور همراه با آیدیوتوبیک C R33 دولومیت آیدیوتوبیک E و P، A4 دولومیت زین اسپی می باشد.

Sample	R87	R33	R40	R102	H56	H24	H75	A4
Ca (%)	22.13	23	23.5	19.73	22.18	18.9	20.55	20.92
Mg (%)	12.65	8.23	7.74	13.72	11.1	10.4	10.43	14.34
Fe (ppm)	1100	1300	2000	1500	600	1400	1700	500
Mn (ppm)	75	99	101	78	78	78	76	76
Sr (ppm)	84	178	145	84	169	165	84	84
Na (ppm)	2800	400	300	7300	10000	500	8300	17509
Pb (ppm)	189	77	275	187	187	153	188	280

جهت جریان سیال در طول دولومیتیزاسیون

تغییرات غلظت عناصر کمیاب و فرعی در دولومیت می تواند جهت حرکت سیال در طول دیاژنز را آشکار کند (Veizer 1983). به عنوان مثال در یک سیال آبدار که یک سنگ آهک را دولومیتی می کند، مقدار عناصر کمیاب و فرعی Fe^{2+} , Mn^{2+} و Sr^{2+} بین دولومیت و سیال آبدار توزیع خواهد شد. ضریب توزیع Mn^{2+} و Fe^{2+} بیشتر از یک می باشد. این یون ها بنابراین ترجیحاً در دولومیت ها تمرکز پیدا می کنند. برخلاف آنها ضریب توزیع Sr^{2+} کمتر از یک می باشد. این بدین معنی است که در سیالی که از سنگ در حال دولومیتی شدن می گذرد نسبت Mn^{2+} و Ca^{2+} به Fe^{2+} کاهش می یابد و در پایین دست جریان مقادیر Mn^{2+} و Fe^{2+} کمتری برای جانشینی در دولومیت در دسترس است. در همین زمان نسبت Sr^{2+} به Mg^{2+} و Ca^{2+} افزایش می یابد و در پایین دست جریان Sr^{2+} بیشتری برای جانشینی در دولومیت وجود دارد. در نتیجه دولومیتی با تمرکز کم تر Fe^{2+} و Mn^{2+} و زیادتر Sr^{2+} در جهت پایین دست جریان تولید می شود (Gregg & Shelton 1989). داده های جدول ۴ که بر اساس اطلاعات بالا تفسیر شده اند یک روند تغییر ترکیب دولومیت را در طول پروفیل ها نشان می دهد (شکل ۱۳). نمونه های دولومیتی نزدیک به گسل انزاب که در جنوب توالی مورد مطالعه قرار گرفته است (شکل



شکل ۱۳- میزان تمرکز عناصر فرعی و کمیاب Fe, Mn و Sr در دولومیت با فاصله از گسل انزاب در مناطق رضا آباد و حیدر آباد. در هر دو منطقه با دور شدن از گسل مقدار Fe و Mn زیاد و Sr کم می شود.

دولومیت در طول زمان شامل دولومیکرایت‌ها، دولومیت ایدیوتوبیک S (دولومیکرواسپارایت با اندازه کوچکتر از ۴۰ میکرون)، دولومیت‌های ایدیوتوبیک E، P و S با اندازه ۴۰ تا ۳۱۰ میکرون، ایدیوتوبیک C و در انتهای گزنتوبیک C (زین اسپی) می‌باشد.

دولومیت‌های منطقه با توجه به معادله لومسدن از نظر میزان کربنات کلسیم به ۳ دسته قابل تقسیم هستند، $51/5 - 49/5 \%$ ، $53/5 - 51/5 \%$ ، $55/5 - 53/5 \%$ میزان سدیم و استرانسیم در طول زمان دیاژنر و با افزایش اندازه بلور باید کمتر شود این روند بدلیل پیچیدگی دیاژنر در توالی کرتاسه بالایی این منطقه دیده نمی‌شود. همچنین مقادیر Mn و Fe در طول دیاژنر با توجه به تغییر محیط از حالت اکسیدان در سطح به احیایی در عمق افزایش می‌یابد. این افزایش در دولومیت‌های مورد مطالعه صادق است، لذا از مقادیر پایین تر در دولومیکرواسپارایت‌ها به بالاتر در دولومیت‌ها تغییر می‌کند. در دولومیت‌های زین اسپی منطقه که در مراحل پایانی دیاژنر تشکیل شده اند چنین روند مشاهده نمی‌شود. با توجه به اینکه در جهت پایین دست جریان دولومیتی با تمرکز پایین تر Mn^{2+} و Fe^{2+} و بالاتر Sr^{2+} تولید می‌شود یک روند تغییر ترکیب دولومیت را در طول پروفیل‌های منطقه شاهدیم. لذا احتمالاً یک جریان سیال از شمال به جنوب نسبت به گسل انزاب در منطقه وجود داشته است.

تشکر و قدردانی

از خانم‌ها علیمردانی، صابری و نوربخش (سازمان زمین‌شناسی) و آقای مهندس برقی که در تهیه نمودارهای XRD کمک‌های زیادی ارائه نمودند تشکر و قدردانی می‌شود. از آقای پروفوسورد برنده لمن (Bernd Lehman) از دانشگاه کلاووستال آلمان که هزینه و انجام تجزیه ژئوشیمیایی ده نمونه را متحمل شدند و از مسئولین بخش ژئوشیمی سازمان زمین‌شناسی سپاسگذاری می‌شود. از مسئولین و اعضاء کارگاه تهیه مقاطع نازک دانشکده زمین‌شناسی تشکر می‌گردد. از آقایان دکتر حسن زاده و دکتر رحیم پور بخاطر راهنمایی‌های ارزشمندانه و از معاونت محترم پژوهشی دانشگاه تهران جهت تقبل هزینه‌های این تحقیق نیز سپاسگذاری می‌گردد.

منشاء منیزیم

منشاء منیزیم دولومیکرایت‌ها که توسط پمپ شدن آب در اثر تبخیر در ساخاها و با در مراحل اول دیاژنر تشکیل می‌شوند، آب دریا است (Land 1985). تأمین منیزیم دولومیکرواسپارایت و دولومیت‌ها را می‌توان، مرهون عوامل مختلفی دانست: آب دریا، فشرده‌گی گل سنگ‌های حوضه‌ای و خروج سیال‌های غنی از منیزیم به داخل سنگهای آهکی حاشیه پلاتفرم مجاور، منیزیم موجود در ساختمان کانی‌های رسی، آبهای درون حفره‌ای دریایی، آب فسیل (Connate waters) و از دانه‌های کلسیتی با منیزیم بالا (Tucker 1991, Lee & Friedman 1987). تشکیل استیلولیت، فرایندهای انحلال فشاری و شورابه‌های حوضه‌ای نیز از دیگر منابع تأمین منیزیم هستند (Lee and Friedman 1987). منیزیم دولومیت‌های زین اسپی از آب‌های اپی‌ژنتیک و هیدرورترمالی تأمین می‌گردد. با توجه به توالی رسوی اوسن بالایی به بعد (شکل ۱) در می‌یابیم که یک دوره گرم و خشک نسبتاً طولانی با رسوگذاری تبخیری‌ها بعد از اوسن میانی تا میوسن در منطقه حاکم بوده است. سیالات غنی از منیزیم حوضه‌های آن زمان، در اثر بالا رفتن گرادیان ژئوترمال و از طریق گسل‌ها و شکستگی‌ها می‌تواستند در سنگ‌های زیرین به چرخش درآیند. لذا نمی‌توان نقش این تبخیری‌ها را در تأمین منیزیم شورابه‌هایی که به سمت پایین (به سمت توالی و لایه‌های کربناته کرتاسه) حرکت می‌کردند نادیده گرفت.

نتیجه گیری

شش نوع دولومیت از نظر پتروگرافی در توالی کرتاسه بالایی شمال شرق شهمیرزاد دیده می‌شود که شامل گزنتوبیک A یا دولومیکرایت، ایدیوتوبیک E، P، S یا دولومیت‌ها و دولومیکرواسپارایت (ایدیوتوبیک S ریز بلور)، ایدیوتوبیک C و گزنتوبیک C یا دولومیت زین اسپی است. به نظر می‌رسد دولومیت‌ها و ایدیوتوبیک C و گزنتوبیک C دولومیت‌های هیدرترمالی می‌باشند. این دولومیت‌ها عمدها در رخساره‌های سدی و لاگون جانشین شده‌اند. دولومیکرایت‌ها و دولومیکرواسپارایت‌ها همراه رخساره‌های پهنه‌جذر و مدبی و سابقاً هستند. با توجه به مطالعات پتروژن، توالی رشد بلورهای ساخا هستند.

منابع

- آقا باتی س. ع. ۱۳۸۳: زمین‌شناسی ایران. سازمان زمین‌شناسی و اکتشافات معدنی کشور. ۵۸۶.
- بازرگانی گیلانی ک، فرامرزی م. ۱۳۸۴: ژئومتری، پتروگرافی و ترکیب دولومیت کرتاسه شهمیرزاد، البرز مرکزی. بیست و چهارمین گردهمایی علوم زمین، ۸.
- رحمی ب. ۱۳۸۱: مطالعات ساختاری رشته کوه البرز در شمال دامغان. رساله دکتری، دانشکده علوم زمین، ۲۰۸.
- رحمتکش ق. ۱۳۷۵: میکرواستراتیگرافی رسوبات کرتاسه فوقانی شمال سمنان (منطقه دریند). رساله کارشناسی ارشد، دانشگاه شهید بهشتی، دانشکده علوم زمین، ۱۸۲.
- علی قلی نتاج م. ۱۳۸۰: مدل‌های دولومیتی شدن سازند الیکا در منطقه بلبل خوان آمل. بیستمین گردهمایی علوم زمین، ۸-۱۳.

- فیاضی ف. ۱۳۸۴: پتروگرافی و ژئوشیمی دولومیت های بخش میانی سازند الیکا در منطقه شهریزد. نهمین همایش انجمن زمین شناسی ایران. ۵۳۸-۵۵۲.
- محمودی ل، و آدابی م. ح. ۱۳۸۴: توصیف خصوصیات پتروگرافی و ژئوشیمیایی انواع مختلف دولومیت در سازند سورمه (معادل سازند عرب) در میدان سلمان: خلیج فارس. بیست و چهارمین گردهمایی علوم زمین، ۶.
- نبوی م. ح. ۱۳۶۶: نقشه ۱:۱۰۰۰۰ زمین شناسی ناحیه سمنان. چهار گوش شماره ۶۶۶۱، سازمان زمین شناسی و اکتشافات معدنی کشور.
- Alavi M. 1991: Sedimentary and structural characteristics of the Paleo-Tethys remnants in northeastern Iran. *Geol. Soc. Am. Bull.* **103**: 983-992.
- Berberian M., King G.G. 1981: Towards a paleogeography and tectonic evolution of Iran. *Can. J. Sci.* **18**: 210-265.
- Bencini A., Turi A. 1974: Mn distribution in the Mesozoic carbonate rocks from Lima Valley, Northern Apennines. *J. Sed. Pet.* **44**: 774-782.
- Braithwaite C.J.R., Rizzi G. 1997: The geometry and petrogenesis of hydrothermal dolomites at Navan, Irland. *Sedimentology* **44**: 421-440.
- Burns S.J., Baker P.A. 1986: A geochemical study of dolomite in the Monterey Formation, California. *J. Sed. Pet.* **57**: 128-139.
- Carballo J.D. Land L.S., and Miser, D.E. 1987: Holocene dolomitization of supratidal sediments by active tidal pumping, Sugarloaf key, Florida. *J. Sed. Pet.* **57**: 153-165.
- Chen D. Qing H., Yang C. 2004: Multistage hydrothermal dolomites in the Middle Devonian (Givetian) carbonates from the Guiline area, South China. *Sedimentology* **51**: 1029-1051.
- Dicson J.A.D. 1965: A modified staining technique for carbonate in thin section. *Nature* **205**: 207.
- Friedman G.M. 1965: Terminology of crystallization textures and fabrics in sedimentary rocks. *J. Sed. Pet.* **35**: 643-655.
- Gregg J.M. Sheltan k. 1989: Minor- and trace-element distributions in the Bonneterre Dolomite (Cambrian), southeast Missouri: evidence for possible multiple-basin fluid sources and pathways during lead-zinc mineralization. *Geol. Soc. Am. Bulletin* **101**: 221-230.
- Gregg, J.M. and Sheltan, k. 1990: Dolomitization and dolomite neomorphism in the back reef facies of the Bonneterre and Davis Formations (Cambrian), southeastern Missouri. *J. Sed. Pet.* **60**: 549-562.
- Hardie L.A. 1987: Perspectives Dolomitization: A critical view of some current views. *J. Sed. Pet.* **57**: 166-183.
- Jones B. Luth R.W., Macneil A.J. 2001: Powder X-ray diffraction analysis of heterogeneous sedimentary dolostones. *J. Sed. Pet. Res.* **71**: 790-799.
- Land L.S. 1985: The origin of massive dolomite. *J. Geol. Education* **33**: 112-125.
- Land L.S. Hoops G.K. 1973: Sodium in carbonate sediments and rocks: a possible index to the salinity of diagenetic solutions. *J. Sed. Pet.* **43**: 614-617.
- Lee Y.I., Friedman G.M. 1987: Deep-burial dolomitization in the Ordovician Ellenburger Group carbonates, West Texas and Southeastern New Mexico. *J. Sed. Pet.* **57**: 544-557.
- Lumsden D.N. 1979: Discrepancy between thin-section and X-ray estimates of dolomite in limestone. *J. Sed. Pet.* **49**: 429-436.
- Machel H.G., Lonnee, J. 2002: Hydrothermal dolomite-a product of poor definition and imagination. *Sed. Geol.* **152**: 163-171.
- Marshall J.D. 1992: Climatic and oceanographic isotopic signals from the carbonate rock record and their preservation. *Geol. Mag.* **129**: 143-160.
- Mazzullo S.J. 1992: Geochemical and neomorphic alteration of dolomite: a review. *Carbonates and Evaporite* **7**: 21-37.
- Nabavi M.H., Samadian M.R., Alavi Naini M., Shahabi M., Hamedi A.R., Vaezipour M.J. 1994: Geological quadrangle map of Semnan. Geological survey of Iran, No. G 5, 1: 250,000.
- Nader F.H., Swennen R., Ellam R. 2004: Reflux stratabound dolostone and hydrothermal Volcanism-associated dolostone: a two-stage dolomitization model (Jurassic, Lebanon). *Sedimentology* **51**: 339-360.
- Nelson W.A., Read J. F. 1990: Updip to downdip cementation and dolomitization patterns in a Mississippian aquifer, Appalachians, *J. Sed. Pet.* **60**: 379-396.
- Radke B.M., Mathis R.L. 1980: On the formation and occurrence of Saddle dolomite. *J. Sed. Pet.* **50**: 1149-1168.
- Royse C.F., Wadell J.S., Petersen L.E. 1971: X-Ray Determination of Calcite-Dolomite: An evaluation. *J. Sed. Pet.* **41**: 483-488.
- Runnels, D. 1970: Errors in X-ray analysis of carbonates due to solid-solution variation in composition of component minerals. *J. Sed. Pet.* **40**: 1158-1166.
- Sibley, D.F., Gregg J.M. 1987: Classification of dolomite rock textures. *J. Sed. Pet.* **57**: 967-975.
- Swart P.K., Cantrell D.L., Westphal H., Handford C.R., Kendall C.G. 2005: Origin of dolomite in the Arab-D reservoir from the Ghawar Field, Saudi Arabia: evidence from petrographic and geochemical constraints. *J. Sed. Pet. Research* **75**: 476-491.
- Tucker M.E. 1991: Sedimentary Petrology. Black Well, Oxford, 260 pp.
- Tucker M.E., Wright V.P. 1990: Carbonate Sedimentology Petrology. Black Well, Oxford, 482 pp.
- Veizer J. 1983: Chemical Diagenesis of Carbonate: theory and application of trace element technique, Stable Isotopes in Sedimentary Petrology. *J. Sed. Pet.* **10**: 3-1- 3-100.